

ライトフィールドカメラにおける GPGPU を用いた 画像処理の高速化の検討

並木 美太郎^{†1} 高木 康博^{†2} 本田 舜^{†1} 山口 祐太^{†2}

概要 : 計算により常に焦点を合わせ続けることのできるライトフィールドカメラの研究開発では、視差画像の生成、シフト加算、小領域画像の焦点検出など多量の計算量を必要とする画像を処理する。本研究では、フル HD 解像度 (1920x1080) の画像を 60fps で処理する高速カメラの画像処理を GPGPU で高速化する方式を検討し、並列化方式、メモリ配置、などを考察した結果、従来 3 秒程度かかっていた 640x480 の画像処理が、GPGPU1 台で 12ms 程度で処理できた。本稿では、高速化方式の検討結果とマルチ GPGPU での高速化の検討について述べる。

キーワード : ライトフィールドカメラ、GPGPU

1. はじめに

近年の人工知能などでは、画像を扱うことからカメラとその画像処理はますます重要になっている。筆者らは次世代の画像入力システムとして、ライトフィールド理論とその理論に基づくカメラを用いて、機械的な機構を用いずに常に焦点を合わせ続ける手法を研究している。本理論では、計算によって焦点合わせを行う。この焦点合わせをリフォーカス処理と呼ぶ。この手法では、撮像後にも、リフォーカスも可能なことから、より詳細な画像解析や認識に応用できる。しかし、多量の計算量が必要なことから、高精細画像や動画への適応は困難であった。

本研究では、ライトフィールドカメラでの画像処理を GPGPU によって高速化する。GPGPU を 1 台用いて、リフォーカス処理を行い、CPU と比較して 250 倍程度の高速化を確認した。また、マルチ GPGPU を用いた高速化を検討し、4 台の GPGPU で 60fps (frame per second) での動画処理が可能であることを確認した。次に高速化方式について示す

2. ライトフィールドカメラの原理

ライトフィールドカメラ[1][2]は、図 1 に示すように、結像レンズ、マイクロレンズアレイ、イメージセンサで構成される。結像レンズは、物体をマイクロレンズアレイの近傍に結像する。マイクロレンズアレイのそれぞれのマイクロレンズにイメージセンサの 2 次元画素群が対応している。

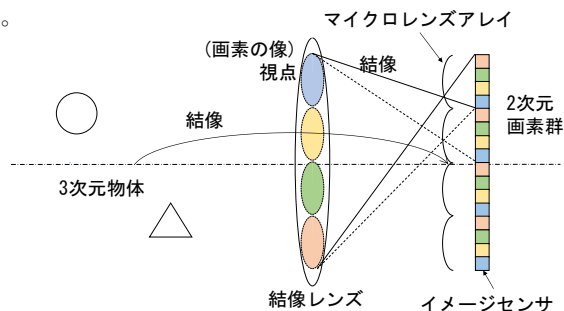


図 1 ライトフィールドカメラの構造

各マイクロレンズは、結像レンズをおおぞれの 2 次元画素群に結像し、結像レンズとすべての 2 次元画素群の間で結像関係が成り立つ。ここで、結像レンズ内に出来る各画素の像を考えて、これを視点と呼ぶ。

すべての 2 次元画素群の同一位置にある画素を集めて画像を構成すると、結像レンズの内の対応する視点から 3 次元物体を見た視差を持つ視差画像が得られる。各マイクロレンズに 2x2 画素が対応する例を図 2 に示す。

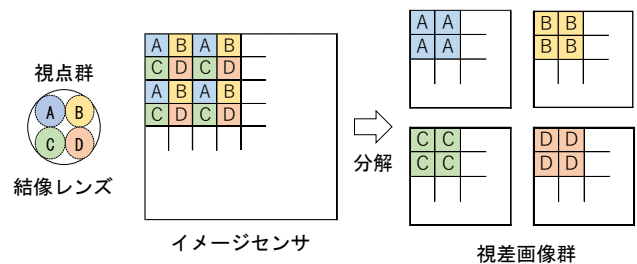


図 2 要素画素群と主レンズの視点

この視差画像群からシフトしながら重ね合わせる(シフト加算と呼ぶ)ことでリフォーカス処理を行う。すべての視差画像を、対応する結像レンズ内での視点位置とリフォーカス位置に応じて、適切に縦横にシフトして加算することで、リフォーカス位置にある部分は一致してシャープになる。リフォーカス位置にない部分は一致しないため、ぼけが生じる。したがって、図 3 のように、リフォーカス位置に焦点があった画像が得られる。

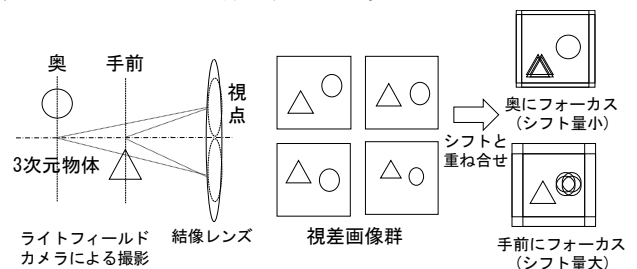


図 3 リフォーカスの原理

^{†1} 東京農工大学 工学府 情報工学専攻

^{†2} 東京農工大学 工学府 電気電子工学専攻

Lytro 社のライトフィールドカメラ[3][4]は図4に示すように、複数のマイクロレンズの画像から構成される。7728×5368ピクセル(1画素10bit)の画像を拡大すると、ハニカム構造のマイクロレンズからの画像を判別できる。この原画像のデータは約50MB程度である。この図4の画像から図5に示すような視差画像群をプログラムで生成する。このカメラでは $N=15$ なので、視差画像の枚数は $N^2=225$ 枚となるが、ハニカム構造なので実際の枚数は $2 \times (7+11+12+13) + 7 \times 15 = 191$ 枚である。



図4 Lytro社のライトフィールドカメラ Illumの原画像



図5 視差画像群(640×640画像が15×15枚)

ライトフィールドカメラは、撮影時に機械的な機構でのフォーカスが不要であり即時性に優れていること、また、撮影後にも画像処理により適切なフォーカス処理も可能である。たとえば、シフト量を変えることにより、ピント調整できるほか、全画面で適切なフォーカスを選択することもソフトウェア的に可能である。これらは静止画のみならず動画でさらに優れた方式となりえる。

しかし、リフォーカス処理は多数の視差画像のシフトと重ね合わせが必要となり、通常のCPUでは計算時間を要する。先ほどのLytro社のカメラでは撮影後PC(Personal Computer)で稼動するソフトウェアで画像処理を行う。し

かし、一枚当たり、数十秒の実行時間を要する。この処理をGPGPUにより高速化する。

3. ライトフィールドカメラでの画像処理

本研究では、最終的には4K画像の解像度(3840×2080ピクセル)のカメラを用いてリアルタイムな1/60秒のフレーム時間内で実行することを目標とする。そのために、まず、640×480で1/60の処理の高速化を検討した。本研究での処理内容を図6に示す。

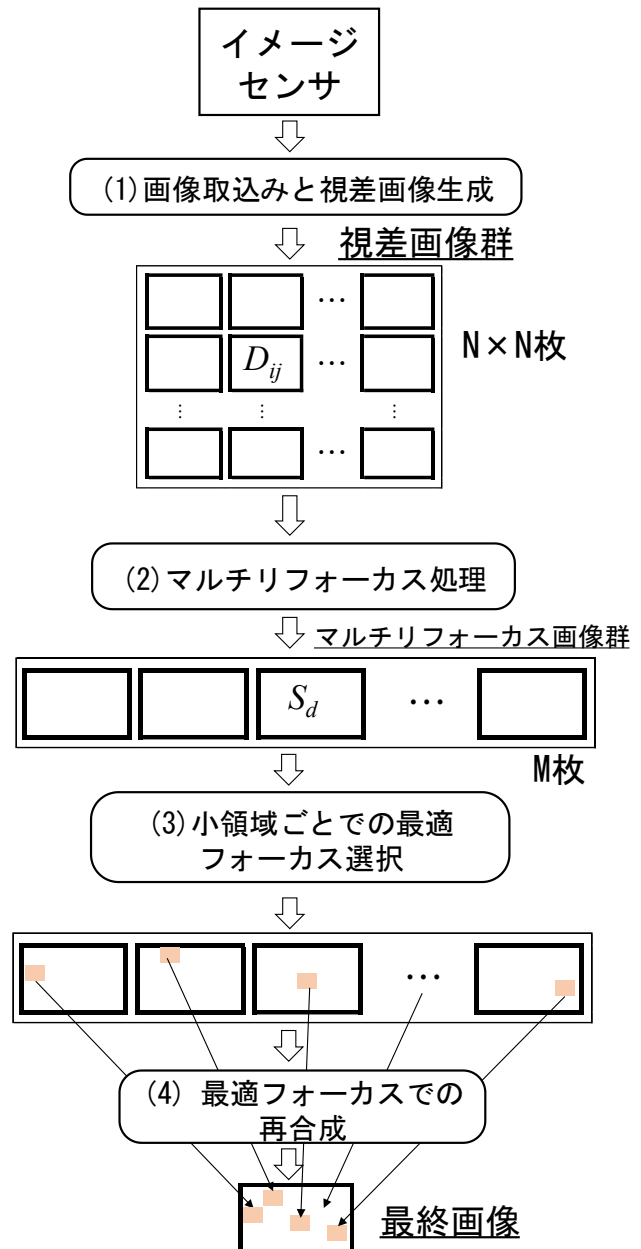


図6 高速リフォーカス処理の全体手順

(1) イメージセンサから画像取込みと視差画像の生成

イメージセンサからのデータをマイクロレンズアレイの間の位置ずれや傾きの補正処理を行いながら、視差画像を生成する。この処理については、共同研究者が光学系を含めて現在研究中である。本稿では、図5に示すような

Lytro 社のカメラから生成された視差画像を用いる。先の Lytro 社のカメラでは、 625×434 ピクセル、 $30\text{bit}/\text{ピクセル}$ のカラー視差画像が生成されるので、その画像を 640×480 、 $24\text{bit}/\text{ピクセル}$ ファイルとして格納して利用した。

(2) シフト加算によるマルチフォーカス処理

主たる計算はこの処理に費やされる。 N^2 枚の視差画像からシフト量を変えたシフト加算を行い、 M 枚のマルチフォーカス画像群を生成する。マルチフォーカスのシフト加算では、シフト量を d (非整数)、画像一枚の大きさを $X \times Y$ ピクセル、視差画像一枚を D_{ij} ($1 \leq i, j \leq N$) とし、そこに含まれる視差画像の 1 ピクセルを $P_{ij}(x, y)$ とする。このとき、シフト量 d で重ね合わせた画像のピクセルを $S_d(x, y)$ ($x \in X, y \in Y$) とすると、

$$S_d(x, y) = \frac{\sum_i \sum_j P_{ij}(x - d \times i, y - d \times j)}{N^2} \quad (\text{式 1})$$

で求められる。マルチフォーカス処理で得られた M 枚の画像で手前にフォーカスあった画像を図 7 に、奥にあった画像を図 8 に示す。これらは、撮影後の視差画像を用いた処理である。

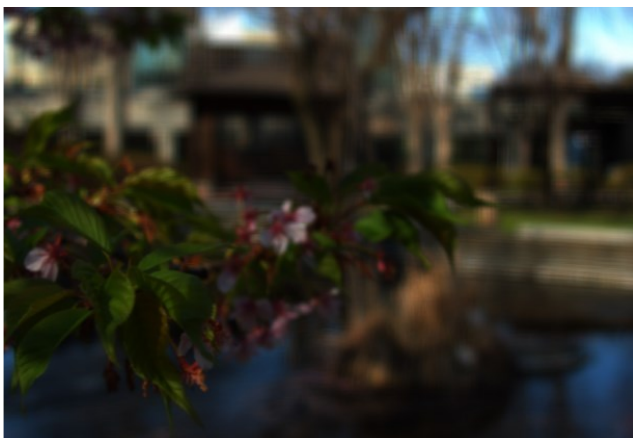


図 7 マルチフォーカス画像の処理(手前にフォーカス)

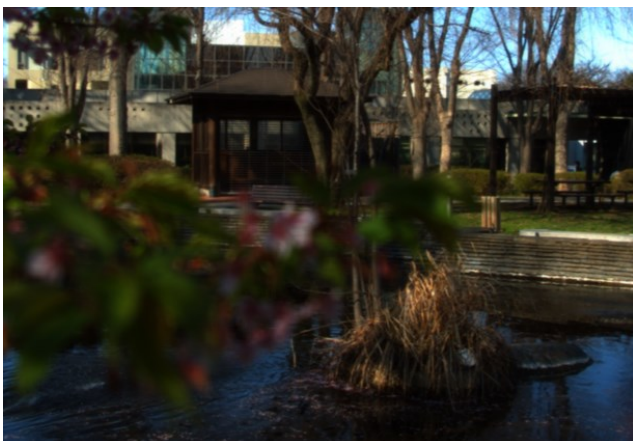


図 8 マルチフォーカス画像の処理(奥にフォーカス)

主記憶上のデータ量については、3 バイト/ピクセルなので、1 フレームあたりの視差画像群 N^2 枚については約 200MB である。シフト量を変えて M 枚のリフォーカス画像を生成するときの加算の計算量は、 $X \times Y \times N \times N \times M$ となる。プログラム上は逐処理利は 5 重のループが出現する。本稿では、シフト量 d については、実験的にサンプル画像のフォーカスから $1/16$ 刻みとして、 $-15/16 \sim 15/16$ の範囲で $M=31$ とした。したがって、メモリロードと加算については、 $640 \times 480 \times 15 \times 15 \times 31 \approx 2\text{G}$ 回となる。この処理が主要項であり、ボトルネックとなっている。

(3) 小領域ごとの最適フォーカスの選択

M 枚のリフォーカス画像について、それぞれ小領域に分割し、同じ位置にある小領域についてもっともフォーカスのあったものを選出する。シフト量 d のリフォーカス画像について、 (u, v) に位置する小領域を F_{uv}^d とすると、同じ (u, v) に対して、もっともフォーカスの適切な小領域を選出する。この処理をすべての小領域に適用し、最適なフォーカスの小領域群を選ぶ(図 9)。

リフォーカス画像群 S_d

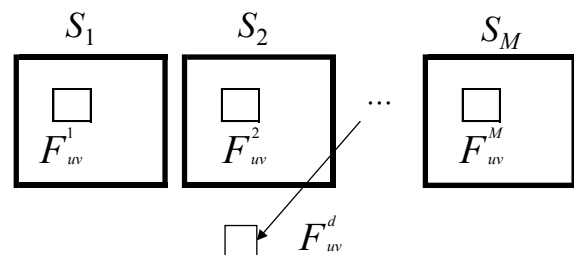


図 9 小領域ごとの最適フォーカスの選択

本稿では、小領域の大きさを 8×8 ピクセル、小領域の個数については 1 枚のリフォーカス画像について 80×60 枚の小領域とした。小領域のサイズについてはいくつか実験的に値を変えて、サンプル画像で良好なフォーカスを示すものを選んだ。 $M=31$ の中から最適なものを一つ選ぶ処理を $80 \times 60 = 4800$ 個のすべての小領域について行う。なお、最適なフォーカスの識別については、すべてのリフォーカス画像について輝度を生成し、

$$\begin{pmatrix} -1 & -1 & -1 \\ -1 & 8 & -1 \\ -1 & -1 & -1 \end{pmatrix} \text{のラプ}$$

ラシアンフィルタでエッジを抽出する。そのエッジについて、 8×8 の小領域ごとに二乗和を求め、二乗和が最大の小領域を (u, v) の候補とした。

(4) 最適フォーカス画像による再合成

一つ前のステップ(3)で得られた F_{uv}^d について最適なフォーカスから得られた小領域で画像を再合成する。31 枚のリフォーカス画像から再合成した画像を図 10 に示す。



図 10 再合成後の画像

4. 逐次版での高速化

前の章で述べた処理を、まず逐次プロセッサで実現した。図 6 の(2)のシフト加算のリフォーカス処理について、定義式の式 1)をそのままコーディングした。 d を固定したリフォーカス画像を一枚ずつ生成する。図 11 にアルゴリズムを、図 12 に処理を模式化した図を示す。境界などの細かい処理は省略してある。なお、計算は浮動小数点を一切使わず整数演算とした。また、加算は RGB それぞれに対して加算と平均を求めている。

```

for(d = START; d < END; ++d) {
  for(y = 0; y < Y; ++y) {
    for(x = 0; x < X; ++x) {
      v = 0;
      for(i = 0; i < N; ++i) {
        for(j = 0; j < N; ++j) {
          v += p[i][j][y-d*i][x-d*j];
        }
      }
      s[d][y][x] = v / (N*N);
    }
  }
}

```

図 11 定義式によるプログラム例(例 1)

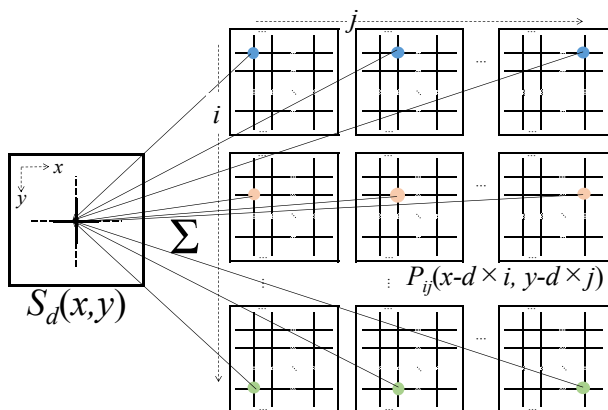


図 12 視差画像からシフト加算(プログラム例 1)

このプログラムは単純であるが、メモリのアクセス間隔が広くワーキングセットが大きくなりやすい。そこで、視差画像一枚を繰返しの内側となるように手順を変更した(図 13、図 14)。この手順では、例 1 と同様、シフト量 d を固定した上で、 i と j で視差画像一枚を固定して、加算結果のピクセルをずらしながら加算する。いずれのプログラムも言語 C で 500 行程度のプログラムである。

```

for(d = START; d < END; ++d) {
  initialize s[d]
  for(i = 0; i < N; ++i) {
    for(j = 0; j < N; ++j) {
      for(y = 0; y < Y; ++y) {
        for(x = 0; x < X; ++x) {
          s[d][y+d*i][x+d*j] += p[i][j][y][x];
        }
      }
    }
  }
  for(y = 0; y < Y; ++y)
    for(x = 0; x < X; ++x)
      s[d][y][x] /= N * N;
}

```

図 13 視差画像 1 枚を内側にした逐次最適化(例 2)

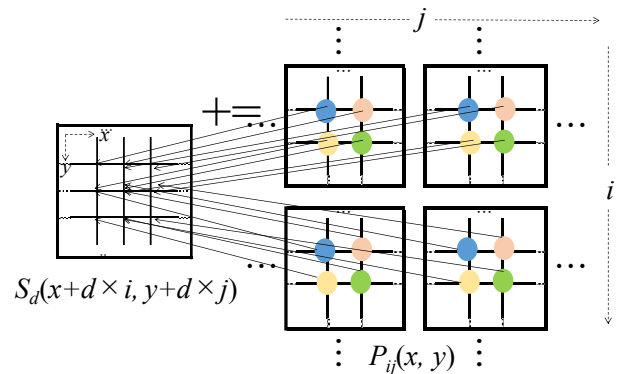


図 14 プログラム例 2 の視差画像参照と計算

シフト加算によるリフォーカス部の処理の実行結果を表 1 に示す。ファイル入出力は実行時間に含まない。1 種類の計算機で図 11 例 1 のプログラムを、3 種類の計算機で図 13 の例 2 のプログラムを実行した。コンパイラは gcc とインテル C++コンパイラを用い、最適化をしなかったときとオプションによる最適化を行った。空白部分は未計測である。性能解析ツールなどを用いた詳細な解析は未了である。

表 1 の hostA の結果を見ると、定義式 1)のプログラムを、最適化オプションなしでコンパイルすると 20 秒近くかかっていたものが、アルゴリズムを工夫した例 2 のプログラムで最適化オプションをつけると 6 倍以上の高速化が達成されている。

表1 逐次処理によるシフト加算の処理時間

	hostA		k40	gtx1080
	定義式(例1)	最適化(例2)	host(例2)	host(例2)
gcc	19.48	10.07	9.65	11.66
gcc -O	7.91	3.13	2.97	3.71
gcc -O3		3.30		
icc	7.02	3.32		
icc -O	7.02	3.32		
icc -O3		3.32		
マシン仕様	Xeon E5-1620v2@3.70GHz		Xeon E5-2637v3@3.50GHz	Xeon E5-2650v4@2.20GHzx2 (NUMA)

sec

表1の結果は、図6(2)のシフト加算の処理のみであった。(1)を除く(2)から(3)の全処理の実行時間を表2に示す。こちらもファイル入出力の時間は含まない。

表2 計算に関する逐次処理の全実行時間

	hostA	k40 host	gtx1080 host
(2)シフト加算	3130	2973	3710
(3)+(4) 選択と合成	37	37	73

msec, 例2のプログラムをgcc -Oでコンパイル

この結果を見ると(2)のシフト加算の処理がもっとも実行時間がかかるのがわかる。また、選択と合成でも37ms程度かかっている。計3秒程度の計算時間を要することから、逐次処理では動画は不可能である。

5. GPGPUによる高速化

リアルタイムな処理については、文献[5]などがあるが、GPGPU一つを用いて図6(2)を高速化することを考える。ライトフィールド理論を用いたGPGPU化には文献[6]などがあるが、全体を含めた高速化を検討する。研究室には、ケイパビリティ順に、Fermi C2050、Kepler K40で基本データを収集することとした。いくつかは、Pascal GTX1080で比較評価を行った。

GPGPU一台で高速化する場合、どこを並列化するかは大きな問題である。今回実験に用いたGPGPUを表3に示す。

視差画像については、総数で200MB程度なので、GPGPU上のグローバルメモリに格納できる。並列化については、スレッドは1024以下なので、シフト加算する1ピクセルごとに並列化はできない。逐次で良好な成績をおさめた図13の例2のプログラムについては、加算されるピクセルがローカルメモリに収まらないのでグローバルメモリになること、加算の際に排他制御が必要となることから、効率は良くないことが予想された。そこで、図11の定義式にしたがったプログラムを基本に考えることにした。基本的には図13のΣは逐次の繰返しで行い、その処

理を各点ごとに並列で行った。いくつかは他の並列化も実験した。

表3 用いたGPGPUの仕様

GPGPU名	GTX1080	K40	C2050
ケイパビリティ	6.1	3.5	2.0
CUDAコア数	2560	2880	448
GPUクロック(GHz)	1.73	0.75	1.15
レジスタ数	65536	65536	32768
共有メモリサイズ(KB)	48	48	48
グローバルメモリ(MB)	11172	11520	2622
メモリクロック(MHz)	5505	3004	1500
メモリ幅(bit)	352	384	384
L2キャッシュ(KB)	2.75M	1.5M	768
リリース年	2016	2015	2011

種々の並列化を考慮したプログラムは、CUDAのブロック、グリッド指定、逐次部分、メモリ配置を換えて、50種以上にのぼる。表4にその一部を示す。いずれも、言語Cで500行程度であり、nvcc -Oとしてコンパイルした。浮動小数点数は使っておらず、すべて整数演算である。当初はC2050を用いていたので、その実行時間が少ないもの順に並べた。詳細な性能計測は未了である。

表4 GPGPUによるシフト加算処理の実行時間

プログラム番号	GPU逐次	ブロック	グリッド	メモリ配置	GTX1080	K40	C2050
1	15x15	640, 1, 1	31, 480, 1	d-i-y-j-x	11.8	55.4	101.0
2	15x15	640, 1, 1	480, 31, 1	d-i-j-y-x	21.9	60.6	101.0
3	10x15	64, 15, 1	480, 31, 1	d-i-j-y-x	25.3	136.0	282.0
4	10x15	64, 15, 1	480, 31, 1	d-i-y-j-x	25.0		284.0
5	15	64, 15, 1	10, 480, 31	d-i-y-j-x	25.5	137.0	289.0
6	15x15	640, 1, 1	480, 31, 1	y-x-d-i-j	23.1	410.8	
7	15x15	640, 1, 1	31, 480, 1	d-y-x-i-j	26.9	424.1	850.9
8	15x15	640, 1, 1	480, 31, 1	d-y-x-i-j	373.0	437.5	
9	32x16	32, 32, 1	31, 1, 1	d-i-j-y-x	273.8		2100.0
10	15x15	2, 480, 1	320, 31, 1	d-i-j-y-x	628.7		3500.0
11		15, 15, 1	640, 480, 31	d-i-j-y-x	158.4		6500.0

msec

もっとも高速なもので11.8msとなっており、CPUでの約3秒に比べて250倍程度の高速化が達成された。また、1/60fpsでも処理可能な実行時間である。

表4については、GPU逐次の欄は、カーネル関数内での逐次の繰返し実行の部分の回数である。ブロック、グリッドの欄は、CUDAに与えるGPU起動の際のdim変数値である。640、480は画像の横縦のピクセル数、15は視差画像の横縦それぞれの枚数、31はマルチフォーカス画像の個数である。メモリ配置については、右の記号から連続してGPGPUのグローバルメモリに配置されていることを示す。視差画像ごとに連続した領域を考えるなら、d-i-j-y-xの並びとなる。つまり、y-xで一枚の視差画像を連続して格納し、それがi-jごとに並び、マルチフォーカス画像の添え字はもっとも外側に来ることを意味する。

表4のプログラム番号1と2の処理手順を図15に示す。グローバルメモリから読んで、グローバルメモリへ書き出す。ローカルメモリなどを明示的に使用していない。スレッド内の変数はすべてレジスタに割り当てられた。他のプログラムも基本構造は同じだが、カーネル関数の繰返し構造が異なっている。プログラム番号1と2では、メモリ配置とグリッドの値が異なっている。プログラム2は $i-j-y-x$ で視差画像順にグローバルメモリに格納されているが、プログラム番号1は x のピクセルを j ごとに並べたものになっている。他のプログラムも基本構造は同じだが、プログラム番号9は別の分割の仕方、プログラム番号11はすべて並列で処理した。いずれも遅い。

```
// GPGPU カーネル関数
__global__ void ShiftSum {
  // x,y,d を threadIdx, blockIdx から得る
  v = 0;
  for(i = 0; i < N; ++i) { // N = 15
    for(j = 0; j < N; ++j) {
      v += P[i][j][y-d*i][x-d*j];メモリ
    }
  }
  S[d][y][x] = v / (N*N);
}

// CPU 側の GPGPU 起動
dim3 block(スレッドのパラメータ);
dim3 grid(ブロックのパラメータ);
ShiftSum<<<grid,block>>>
(視差画像 P, マルチフォーカス画像 S の
グローバルメモリの先頭アドレス);
```

図15 CUDAによるシフト加算の処理
(表4のプログラム番号1,2)

いずれのGPGPUでも、カーネル関数内で一つのマルチフォーカス画像の1ピクセルを、横方向を並列で実行して生成するのがもっとも高速となった。スレッド数を有効に使えるように分割したものは、速度が低下する結果になった。

三つのGPGPUで比較した場合、並列化の方法としては同じプログラム番号1と2は、C2050では同じ実行時間となるが、K40で若干の差が生じ、GTX1080では2倍近い差が生じている。これは、CUDAコア数、L2キャッシュサイズが大きく影響していると考えられるが、詳細な分析は今後の課題としたい。いずれにせよ、640×480ピクセルの解像度、24bitカラー、60fpsでシフト加算は可能である。

さて、もっとも計算量を必要とするシフト加算によるマルチフォーカス処理だけでなく、図6の(3)と(4)のフォーカスの評価、選択、合成処理もGPGPUで行った。マルチフォーカス画像は、GPGPUのグローバルメモリ上に格納されていることから、最終結果までをGPGPUで行う。

マルチフォーカス処理は図15の方法で並列化を行った。小領域ごとの最適フォーカスの選択と最適フォーカス画像による再合成については、次の手順でGPGPUにより並列処理を行った。なお、すべての結果はグローバルメモリに格納される。

(a) RGBからの輝度変換

マルチフォーカス画像はRGBピクセルだが、一度これを8bit整数の輝度に変換する。この処理は、マルチフォーカス画像を求めるときに、同時に輝度を求めることとした。

(b) ラプラシアンフィルタによるエッジ抽出

輝度からマルチフォーカス画像640×480ピクセルの31枚内のすべての点のエッジを求める。各画像に対して、ブロック<<<640,1,1>>>、グリッド<<<480,31,1>>>で並列化。

(c) 小領域ごとに二乗和を求める

マルチフォーカス画像について小領域ごとにエッジの二乗和を求める。8×8の各小領域について、ブロック<<<80,1,1>>>、グリッド<<<60,31,1>>>で並列化。

(d) 最適領域の選択

エッジの二乗和が最大となる小領域を求める。31個の小領域中の最大値を求める。ブロック<<<80,1,1>>>、グリッド<<<60,31,1>>>で並列化。

(e) 最適フォーカスの合成

最適となる小領域のマルチフォーカス画像を31枚から合成する。対応する d からの並列メモリ転送となる。ブロック<<<640,1,1>>>、グリッド<<<480,1,1>>>で並列化。

上記の(a)~(e)ごとにカーネル関数を起動する。実行結果を表5に示す。

表5 GPGPUでの実行結果

	GTX1080	K40	C2050	k40host
視差画像全体転送(約200MB)	31.00	55.00	58.00	
(2)シフト加算	11.82	55.50	101.60	2973
(3)(4)評価と合成	0.53	1.41	2.04	37
最終結果転送(約1MB)	0.84	0.96	0.74	
計	44.19	112.87	162.38	3010.00

msec

逐次

なお、表2のCPUでの最速値、GPGPUにオフローディングするためのデータ転送時間も掲載した。シフト加算については250倍、評価と合成については70倍程度の高速化が得られている。本実験では、予め求めた視差画像の200MBを転送するため、総計44ms程度の時間がかかっている。しかし、目標とするシステムでは、視差画像は別の手法で求める。たとえば、イメージセンサからの画像を転送しGPGPUなどで視差画像を求める方式が考えられる。原画像の大きさは50MB程度なので、転送時間は短縮できる。また、転送とカーネル計算のオーバーラップを

CUDA で行うことで、転送時間を隠蔽するなどの工夫を考察することで、60fps の性能を確保できると考える。

6. マルチ GPGPU による高速化の検討

第5章で GPGPU によるライトフィールドカメラの処理について述べた。前章での高速化の結果は、 640×480 ピクセルの解像度の結果である。さらなる高精細画像については、マルチ GPGPU の利用が考えられる。複数の GPGPU を用いる場合、次の二つの方法が考えられる。

(方式1) マルチリフォーカス画像生成をマルチ GPGPU

図6の手順では、一つの GPGPU でマルチフォーカス画像 $M=31$ 枚を生成していた。これをたとえば、 $8 \text{枚} \times 4 \text{台}$ とする方法である(図16)。今後 d を増やしてフォーカスの精度を向上する場合に有効な方式である。

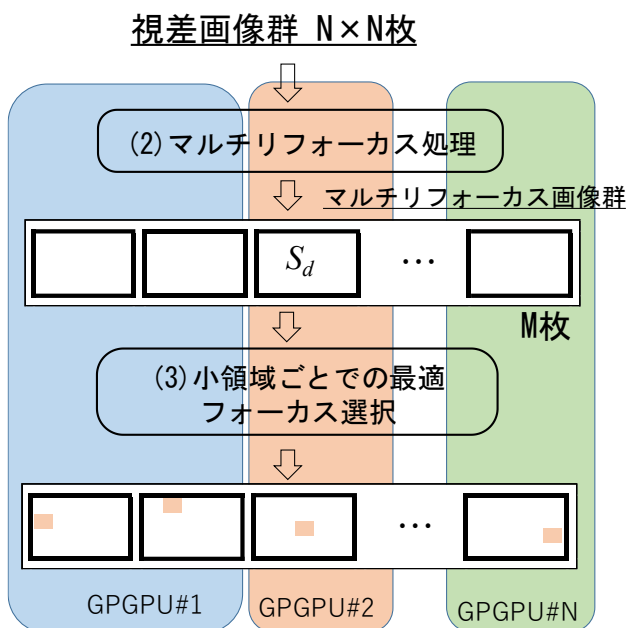


図16 マルチ GPGPU によるリフォーカス画像生成

(方式2) 部分領域ごとに各処理を適用

今回の画像の解像度は 640×480 ピクセルと K4、K8 に比べると小さいサイズである。4K、8K と解像度があがるにつれて、より計算時間は増大すると考えられる。そこで、画像を部分領域ごとに分割し、その分割した領域ごとに図6の(2)~(4)の処理を実行する。図17に GPGPU4 台での例を示す。

本理論では、画像の各領域で依存関係はない。端点が若干オーバーラップする程度だが、事前にオーバーラップ分のデータを視差画像群の部分領域に与えておけば良い。

原稿執筆時点で、全処理をマルチ GPGPU にした版は完成していないが、4台の GTX1080 がマザーボード上の PCI-Express バスに挿入されたマシンで(2)のマルチリフォーカス処理について試験的に実行時間を確認した。結果を表6に示す。

視差画像群 $N \times N$ 枚、1枚ごとに4分割

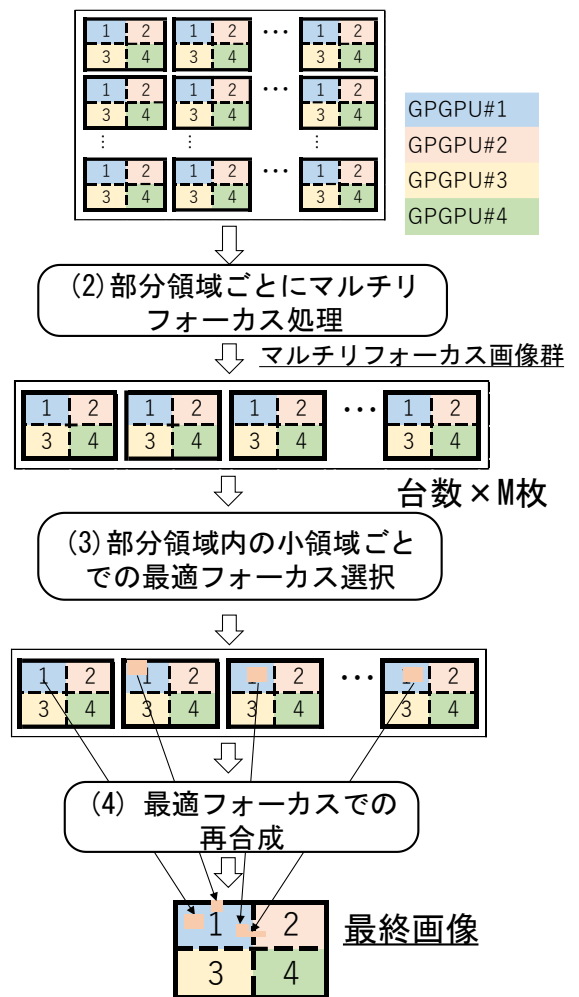


図17 マルチ GPGPU による部分領域ごとの並列化

表6 4台の GTX1080 での実行時間

方式	プログラム番号	GPU逐次	ブロック	グリッド	メモリ配置	GTX1080 (msec)
1	M1	15x15	640, 1, 1	8, 480, 1	d-i-y-j-x	2.63
2	M2	15x15	320, 1, 1	31, 240, 1	d-i-y-j-x	2.66
2	M3	15x15	320, 1, 1	240, 31, 1	d-i-j-y-x	5.61
2	M4	15x15	320, 2, 1	120, 3, 1	d-i-j-y-x	5.60
2	M5	15x15	320, 3, 1	31, 80, 1	d-i-y-j-x	5.58

プログラム番号 M1 は方式1を用いた。31枚の生成を4台の GPGPU で行った。1台あたり8枚を生成した。残りは、部分領域ごとに処理を行った。 640×480 を 320×240 の画像を4枚と考えて実行した。いずれの場合も、最良値で見ると、1/4の時間で実行できており、マルチ GPGPU の効果を期待できる。

この二つの方式については、シフト加算の結果では、ほぼ同じ性能となるが、視差画像の転送などを考えると、視差画像の大きさが $1/L$ (L は GPGPU の台数)になる方式2が有利ではないかと考えられる。特に、(3)(4)の後処理を考えると、画像の相互関係のない本方式では、中間結果を

相互転送する必要もないので、それぞれの GPGPU で独立に計算できる。マルチ GPGPU については、今後も検討を進める。

7. おわりに

本原稿では、ライトフィールドカメラの高速リフォーカス処理について述べた。通常の CPU による逐次実行では、 640×480 の画像について、200 枚の視差画像からリフォーカス処理を行った場合 3 秒近い時間がかかっていたのが、12.3ms と 250 倍近い高速化が可能になった。また、複数台の GPGPU を用いるマルチ GPGPU 化についても検討し、4 台で 4 倍程度のシフト処理の可能性を示した。今後の課題は、性能解析ツールによる詳細な分析、マルチ GPGPU 化の実装、視差画像生成の検討があげられる。

謝辞 本研究はセコム科学技術振興財団「次世代画像入力システムを実現する高速パンチルト・リフォーカスカメラの開発」の支援を受けている。

参考文献

- [1] R.Ng, M.Levoy, M.Bredif, G.Duval, M.Horowitz, P.Hanraha: Light field photography with a hand-held plenoptic camera, Stanford University Computer Science Tech Report CSTR 2005-02, 2005.
- [2] B.Wilburn, N.Joshi, V.Vaish, E.Talvala, E.Antunez, A.Barth, A.Adams, M.Horowitz, M.Levoy: High performance imaging using large camera arrays, ACM Trans. Graphics, Vol.24, No.3, pp.767-776, 2005.
- [3] 蚊野浩: コンピュータショナルフォトグラフィーライトフィールドカメラ Lytro の動作原理とアルゴリズム, 日本学術振興会, 光エレクトロニクス第 130 委員会第 286 回研究会公開シンポジウム資料 2013.
- [4] <https://illum.lytro.com/>
- [5] J.C.Yang, M.Everett, C.Buehler, L.McMillan: A real-time distributed light field camera, EGWR '02 Proceedings of the 13th Eurographics workshop on Rendering, p.77-86, 2002.
- [6] P.Alliez, K.Bala, K.Zhou: Real-time Depth of Field Rendering via Dynamic Light Field Generation and Filtering, Pacific Graphics 2010, Vol.29, No.7, 2010.